

# 第 18 讲: 超分辨率

---

- 什么是超分辨率?
  - 超分辨率 vs. 图像插值
  - 超分辨率 vs. 图像恢复
- 什么使超分辨率成为可能?
  - 插值恢复能否提供超分辨率?
- 频域超分辨率
- 多帧空域正则反演方法
  - 贝叶斯方法
  - 集合论方法
  - 无子像素运动估计的超分辨率

# 什么是超分辨率?

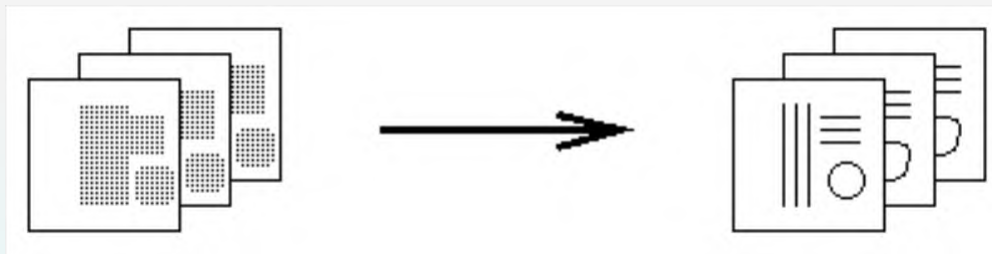
- 超分辨率 vs. 图像插值

- 增加显示的像素数

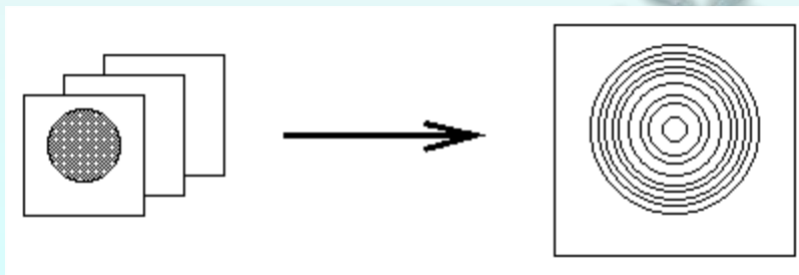


- 超分辨率 vs. 图像复原

- 增强现有频率成分，  
直到原始输入的奈奎斯特频率



- 超分辨率



# 线性插值 vs. 超分辨率

---



# 与图像复原的关系

---

- 空间不变图像复原

- 输入和输出图像具有相同的大小（分辨率），并且模糊PSF在所有位置都相同。

- 空间变化的图像复原

- 输入和输出图像具有相同的大小（分辨率）；模糊PSF因位置而异。

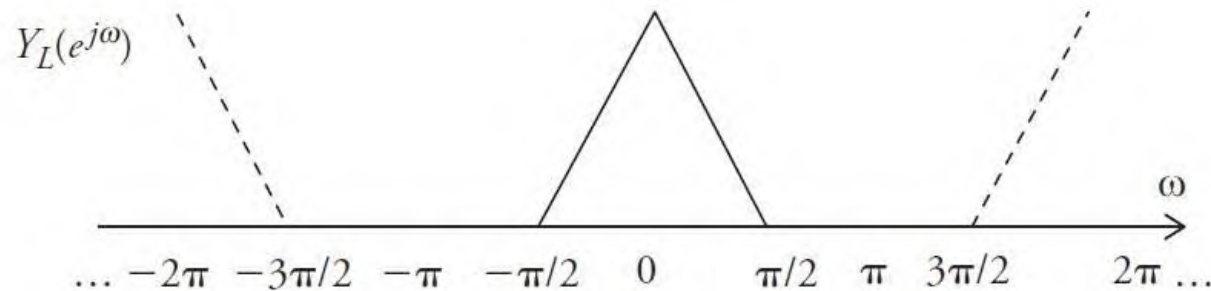
- 多帧图像复原

- 多个输入和输出帧具有相同的大小（分辨率）；模糊PSF可能因位置而异；并且使用多个输入帧来恢复每个输出帧。

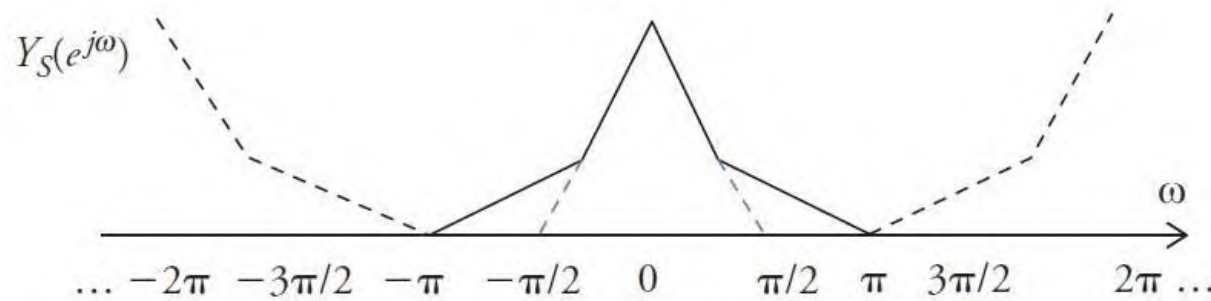


# 频域分析

- **线性移不变插值** 不能产生超过原始信号奈奎斯特频率的新频率，而超分辨率方法则可以。



(a)



(b)

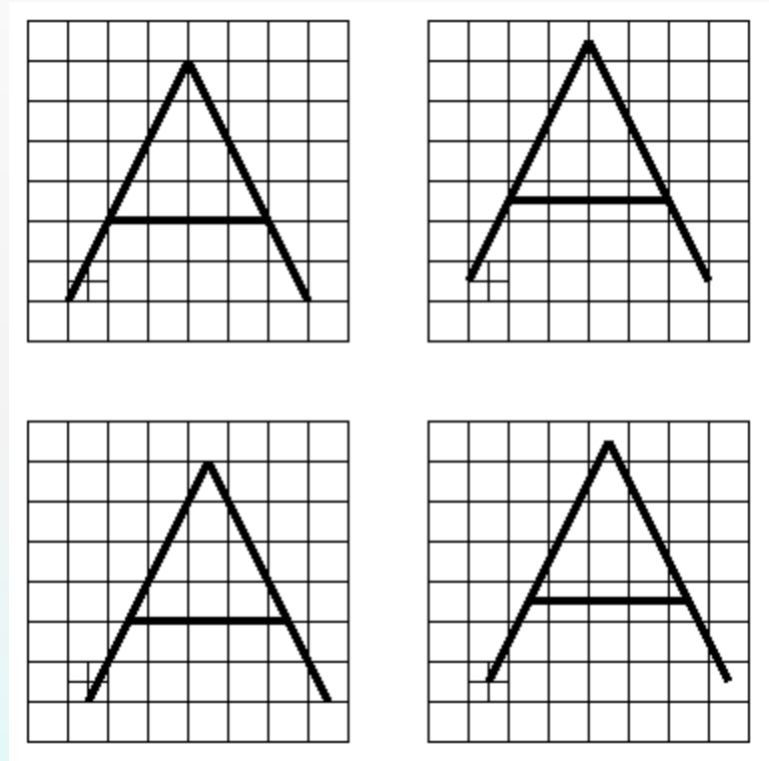
# 超分辨率滤波的应用

---

- 来自视频的高品质剧照
  - 冻结帧
  - 从视频打印
    - 去隔行，恢复，超分辨率
- 具有高空间分辨率的慢动作视频
  - 帧速率转换
- 监控成像
  - 高分辨率小物体/文字识别
- 医学影像
  - 高分辨率肿瘤检测

# 什么使超分辨率成为可能?

- 无抗混叠滤波
  - SR 为去混叠
- 具有子像素运动的多个图像
  - SR 图像中  $LN^2$  个未知数
  - 至少  $LN^2$  独立方程
- 对超分辨率的限制
  - 子像素运动矢量指向新的空间信息。
  - 同时求解  $L \times N^2$  个耦合方程。



# 低分辨率输入图像/视频

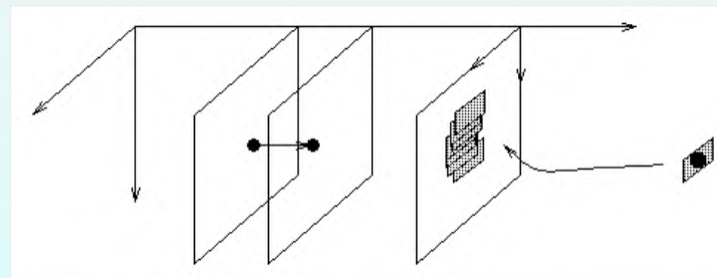
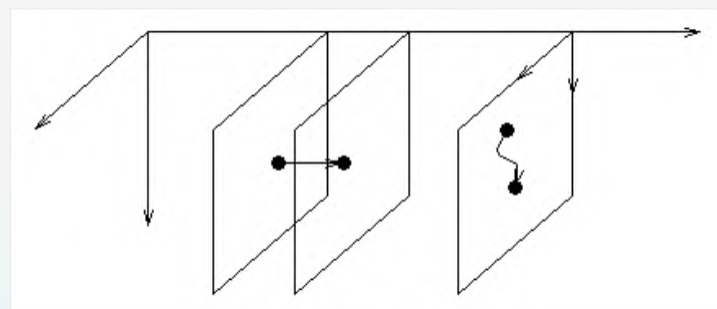
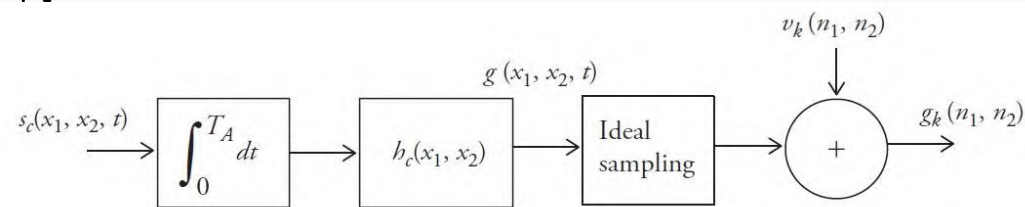
- 使用**单一静止图像实现超分辨率**是高度**病态**的。这在天文学中被广泛研究，它需要很强的先验信息。
- **多个静止帧曝光**：静止目标的多个低分辨率静止图像（无运动模糊），且在连续曝光之间引入受控（已知）子像素运动。
- **具有子像素运动的视频**：商用摄像机记录的一系列场/帧。
  - 全局（参数）运动，例如由于相机平移或变焦而产生的运动。
  - 密集运动，多个运动物体和可能的背景运动。
  - 传感器PSF和运动模糊将这种情况与复原问题相关联。



# 低分辨率图像采样建模

- 低分辨率图像受到以下影响：

- 混叠（欠采样）
- 有限孔径（传感器模糊）
- 有限孔径时间（有限孔径时间内的相对场景传感器运动）
- 光学模糊（散焦），透镜像差和噪声（传感器和量化）。



- 视频采集 - 连续变量

- 非零孔径时间（运动模糊）
- 非零传感器孔径尺寸

- 视频采集 - 离散变量

# 视频形成 - 连续变量

- 在非零孔径时间和尺寸情况下运动产生的影响

$$g(\mathbf{x}, t) = \frac{1}{T_a} \int_{t-T_a}^t \left( \iint_{\mathbf{x}_{t_r}} h_1(\mathbf{x}, \tau; \mathbf{x}_{t_r}, t_r) s(\mathbf{x}_{t_r}, t_r) d\mathbf{x}_{t_r} \right) d\tau$$

时间 (路径)  
上积分

在给定时间像素 (空间)  
孔径上积分

- 时间路径可以映射到参考帧上的一条轨迹

$$h_1(\mathbf{x}, t; \mathbf{x}_{t_r}, t_r) = h_1(\mathbf{x} - M^{-1}(t; \mathbf{x}_{t_r}, t_r), t) |J(M)|^{-1}$$

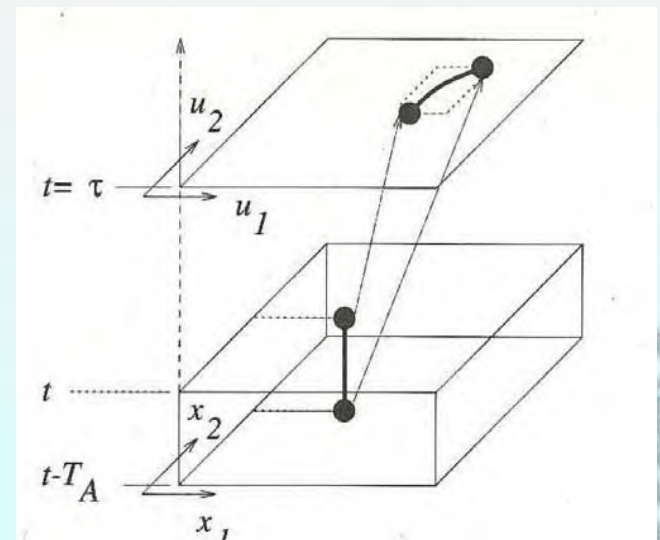
$$h_1(\mathbf{x}, t) = h_a(\mathbf{x}, t) ** h_o(\mathbf{x}, t)$$

$$\mathbf{x}_{t_r} = M(\mathbf{x}, t; t_r)$$

- 参考帧上的等效空间模型:

$$g(\mathbf{x}, t) = \iint_{\mathbf{x}_{t_r}} h_2(\mathbf{x}, t; \mathbf{x}_{t_r}, t_r) s(\mathbf{x}_{t_r}, t_r) d\mathbf{x}_{t_r}$$

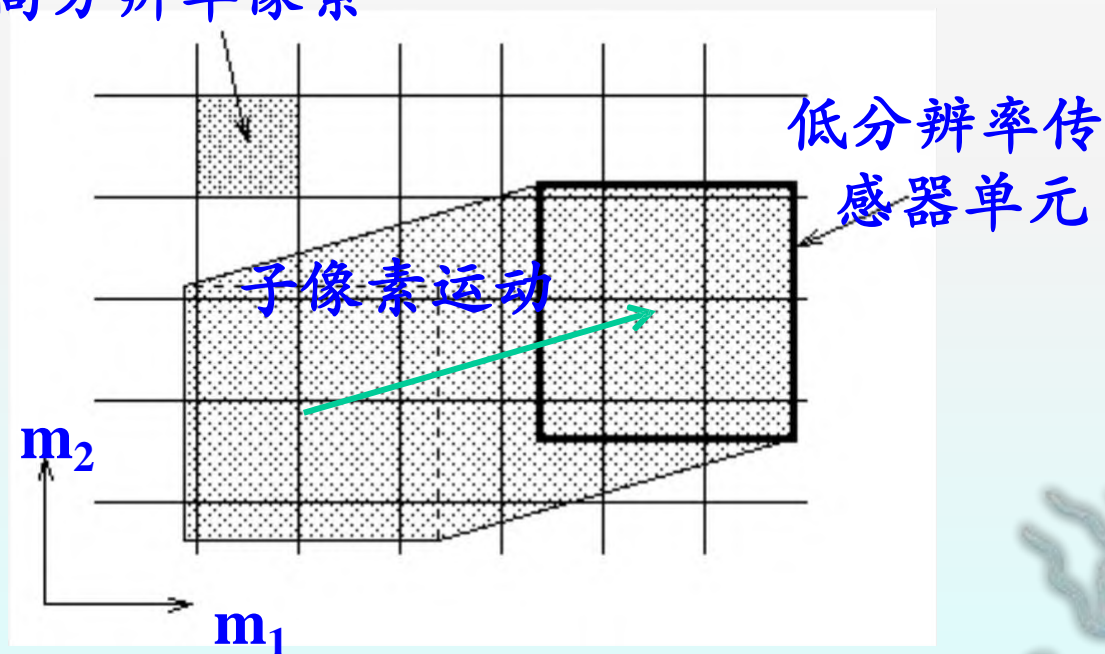
$$h_2(\mathbf{x}, t; \mathbf{x}_{t_r}, t_r) = \frac{1}{T_a} \int_{t-T_a}^t h_1(\mathbf{x}, t; \mathbf{x}_{t_r}, t_r) d\tau$$



# 视频形成：离散-离散模型

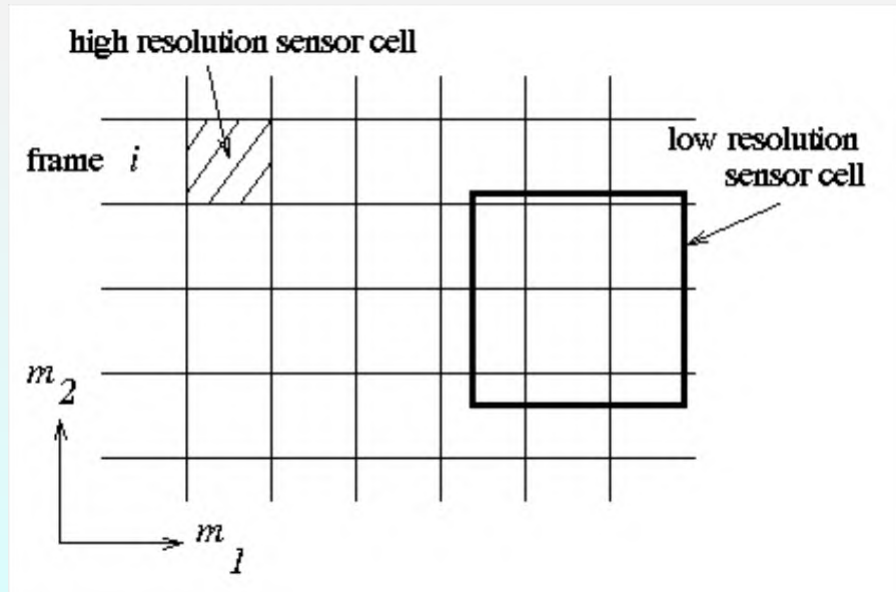
$$g(\mathbf{m}, k) = \sum_{n_1} \sum_{n_2} h(\mathbf{m}, k; \mathbf{n}, t_r) s(\mathbf{n}, t_r) + v(\mathbf{m}, k)$$

高分辨率像素



## 特殊情况：零孔径时间

- 在 $(t, t + T_a)$ 之间的运动轨迹上没有积分
- 视频生成PSF变为 $h(\mathbf{x} - \mathbf{z}_y)$ 
  - $\mathbf{z}_y$  表示由低分辨率图像场/帧之间的运动引起的偏移
  - 如果运动是纯平移，则模型为LSI
  - 如果有旋转，则孔径相应地旋转；但PSF系数不会逐像素改变。





# 频域中的超分辨率

- 令  $s_0(x_1, x_2) \equiv s_c(x_1, x_2, 0)$  为参考帧，且孔径时间  $T_A = 0$ .

则连续输入，离散输出模型简化为：

$$g_k(n_1, n_2) = \sum_{n_1=0}^{N_1-1} \sum_{n_2=0}^{N_2-1} [s_0(x_1 - \alpha_k, x_2 - \beta_k) ** h_c(x_1, x_2)] \delta(x_1 - n_1\Delta, x_2 - n_2\Delta) + v_k(n_1, n_2)$$

其中  $(\alpha_k, \beta_k)$  是帧  $k$  相对于参考帧的位移，采样间隔为  $\Delta$ ，并且低分辨率帧被假定为  $N \times N$ 。

- 由于卷积是可交换的，它可以等价地表示为：

$$g_k(n_1, n_2) = \sum_{n_1=0}^{N_1-1} \sum_{n_2=0}^{N_2-1} [s_0(x_1, x_2) ** h_c(x_1 - \alpha_k, x_2 - \beta_k)] \delta(x_1 - n_1\Delta, x_2 - n_2\Delta) + v_k(n_1, n_2)$$

- 假如我们希望重建一个  $M \times M$  高分辨率参考帧  $s_0(x_1, x_2)$ ，其中  $R = M/N$  是整数。假设  $s_0(x_1, x_2)$  是带限的，即：

$$|S_0(F_1, F_2)| = 0 \quad \text{对于} \quad |F_1|, |F_2| > R \frac{1}{2\Delta}$$

该模型在  $x_1$  和  $x_2$  方向上以因子  $R$  对  $s_0(x_1, x_2)$  进行了下采样。



## 频域中的SR (cont'd)

- 取模型两边的傅立叶变换，得到：

$$G_k(f_1, f_2) = \sum_{i_1=0}^{R-1} \sum_{i_2=0}^{R-1} \frac{1}{\Delta^2} \left[ S_0 \left( \frac{f_1 - i_1}{\Delta}, \frac{f_2 - i_2}{\Delta} \right) H_c \left( \frac{f_1 - i_1}{\Delta}, \frac{f_2 - i_2}{\Delta} \right) e^{-j \frac{2\pi}{\Delta} \{ (f_1 - i_1) \alpha_k + (f_2 - i_2) \beta_k \}} \right] + V_k(f_1, f_2)$$

其中  $S_0 \left( \frac{f_1}{\Delta}, \frac{f_2}{\Delta} \right)$  和  $H_c \left( \frac{f_1}{\Delta}, \frac{f_2}{\Delta} \right)$  分别表示参考帧  $s_0(x_1, x_2)$  和传感器 PSF  $h_c(x_1, x_2)$  的2D连续傅里叶变换。

- 为了在给定频率对  $(f_1, f_2)$ ，恢复无混叠频谱  $S_0 \left( \frac{f_1}{\Delta}, \frac{f_2}{\Delta} \right)$ ，需要至少在该频率的  $R^2$  个方程，这可以从  $L > R^2$  低分辨率帧获得。在任何频率对  $(f_1, f_2)$  的这  $L$  个方程组可与任何其他频率对的  $L$  个方程解耦合，而同时求解。
- 可以看到，如果图像  $s_c(x_1, x_2, 0)$  在低分辨率采样之前通过一个完美的抗混叠滤波器，则双重求和（无混叠项）中只有一项，此时无论有多少低分辨率帧可用，高分辨率图像重建都是不可能的。

## 示例: 频域中的SR

- 考虑一个一维信号的**两个低分辨率（欠采样）观测值** ( $L=2$ )，它们互相之间存在移位，其大小为子样本量 $\alpha$ 。
- 假设 $g_k(n)$ ,  $k=1,2$ 都以**奈奎斯特率的一半采样** ( $R=2$ )，在傅里叶域中：

$$G_1(f) = \frac{1}{\Delta} S_0\left(\frac{f}{\Delta}\right) + \frac{1}{\Delta} S_0\left(\frac{f-1}{\Delta}\right)$$
$$G_2(f) = \frac{1}{\Delta} S_0\left(\frac{f}{\Delta}\right) e^{-j\frac{2\pi}{\Delta}f\alpha} + \frac{1}{\Delta} S_0\left(\frac{f-1}{\Delta}\right) e^{-j\frac{2\pi}{\Delta}(f-1)\alpha}$$

- 每个表达式中**只有一个混叠项**，这是由于假设以奈奎斯特率的一半采样。
- 可以在给定 $G_1(f)$  和  $G_2(f)$  条件下，从这**两个方程求解两个未知数**  $S_0(f_0/\Delta)$  和  $S_0((f_0-1)/\Delta)$ 。
- 在每个频率样本上重复此过程，可以**恢复无混叠的HR信号的频谱**。

# 贝叶斯超分辨率

- **成像模型**可使用通过**随机形式**表示，即：将**模型误差**

$$v_k(n_1, n_2) = g_k(n_1, n_2) - \sum_{m_1} \sum_{m_2} s(m_1, m_2) h_k(m_1, m_2; n_1, n_2)$$

表示为**高斯观察噪声**。

- Schultz和Stevenson [Sch 96]采用**非连续性保持的Huber-Markov Gibbs先验分布**作为先验图像模型。他们构造了一个具有唯一最小值的**约束优化**问题，可通过**迭代**方法求解。
- 对于具有**全局帧到帧运动**的序列可取得非常好的结果，例如摄像头平移或其他全局扭曲。在具有独立物体运动的场景中，则效果较差。

# POCS方法

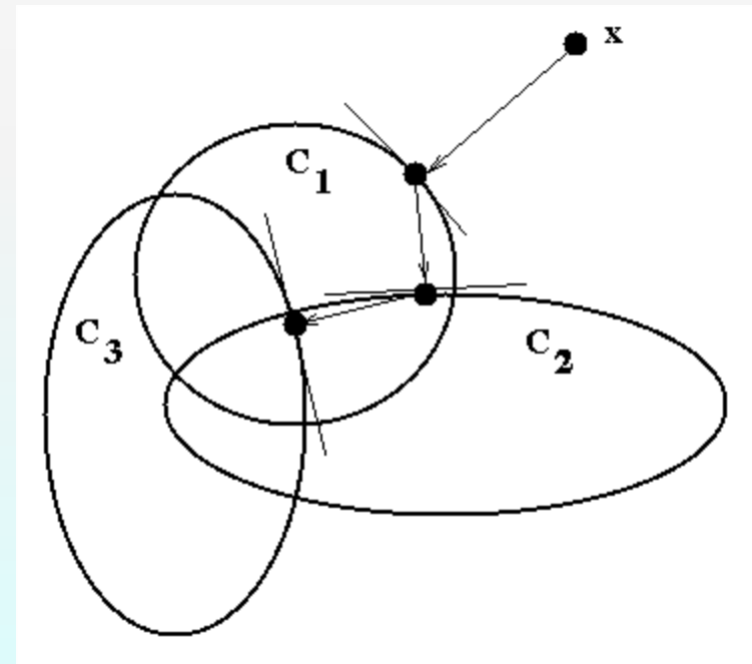
- 投影算子 $P$  将任意点 $x$ 映射到闭合凸约束集 $C$ 上的最近点
- 所有约束集的交集中任何一点都是一个解

- 任意初始估计

- 迭代投影到所有约束集上

- 松弛投影运算符

$$T \equiv (1-\lambda) I + \lambda P; \quad 0 < \lambda < 2$$





# 使用POCS的超分辨率: 集合定义

- 一致性约束:

其中: 
$$C_{t_r}(\mathbf{m}, k) = \left\{ x(\mathbf{n}, t_r) : \left| r^{(x)}(\mathbf{m}, k) \right| \leq \delta_0(\mathbf{m}, k) \right\}$$

$$r^{(y)}(\mathbf{m}, k) = g(\mathbf{m}, k) - \sum_{n_1} \sum_{n_2} x(\mathbf{n}, t_r) h(\mathbf{m}, k; \mathbf{n}, t_r)$$

- $x(n_1, n_2, t_r)$  是约束集的任意一个元素
- 定义观测值  $g(m_1, m_2, k)$ , 其中运动有效
- $\delta_0$ 反映了每个观察值的可信度, 并且设其等于  $c \sigma_v$ , 其中  $c \geq 0$  由适当的统计可信度界来确定

- 其他集合: 也可以使用**振幅**和**有界能量**约束。

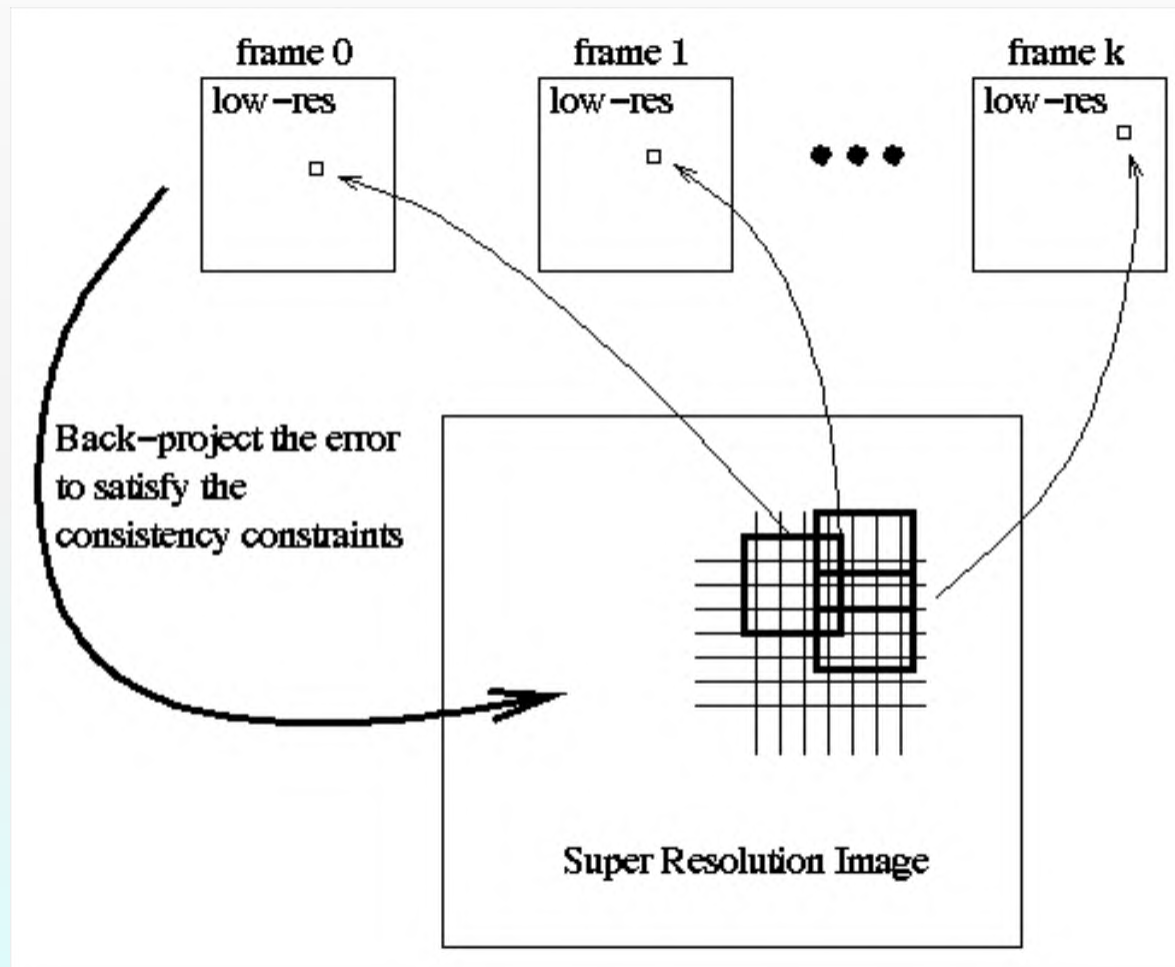


# 使用POCS - 投影的超分辨率

- 数据一致性投影:

$$P_{tr}(\mathbf{m}, k)[x(\mathbf{n}, t_r)] = \begin{cases} x(\mathbf{n}, t_r) + \frac{(r^{(x)}(\mathbf{m}, k) - \delta_0(\mathbf{m}, k))h(\mathbf{m}, k; \mathbf{n}, t_r)}{\sum_{0_1} \sum_{0_2} h^2(\mathbf{m}, k; \mathbf{0}, t_r)} & \text{if } r^{(x)}(\mathbf{m}, k) > \delta_0(\mathbf{m}, k) \\ x(\mathbf{n}, t_r) & \text{if } -\delta_0(\mathbf{m}, k) \leq r^{(x)}(\mathbf{m}, k) \leq \delta_0(\mathbf{m}, k) \\ x(\mathbf{n}, t_r) + \frac{(r^{(x)}(\mathbf{m}, k) + \delta_0(\mathbf{m}, k))h(\mathbf{m}, k; \mathbf{n}, t_r)}{\sum_{0_1} \sum_{0_2} h^2(\mathbf{m}, k; \mathbf{0}, t_r)} & \text{if } r^{(x)}(\mathbf{m}, k) < -\delta_0(\mathbf{m}, k) \end{cases}$$

# 连续投影到凸集



# 无子像素运动估计的SR

- 在存在独立运动物体和遮挡的情况下,子像素光流的精确估计是非常难的问题,所以在实际应用中,SR方法仅限于具有全局运动的视频,例如相机运动。
- Takeda等人[Tak 09]提出了用于SR的3D控制核回归(在时空域中),不需要直接进行精确的子像素运动估计。
- 每个像素通过3D泰勒级数逼近,其系数通过求解局部加权最小二乘问题来估计。权重利用了局部邻域中的3D时空方向,隐含地包含了关于像素在时间上的局部运动信息,从而避免了子像素运动估计的显式计算。
- 已提出一种对于该算法的迭代实现,其中通过粗糙(像素级)的运动补偿来适应快速和复杂的运动。

# 习题

---

- 6.2
- 6.5
- 6.8 （其中 “假设LR传感器单元面积是HR传感器单元面积的四倍” ）
- 大作业： Matlab Exercises 中任选一道题。